

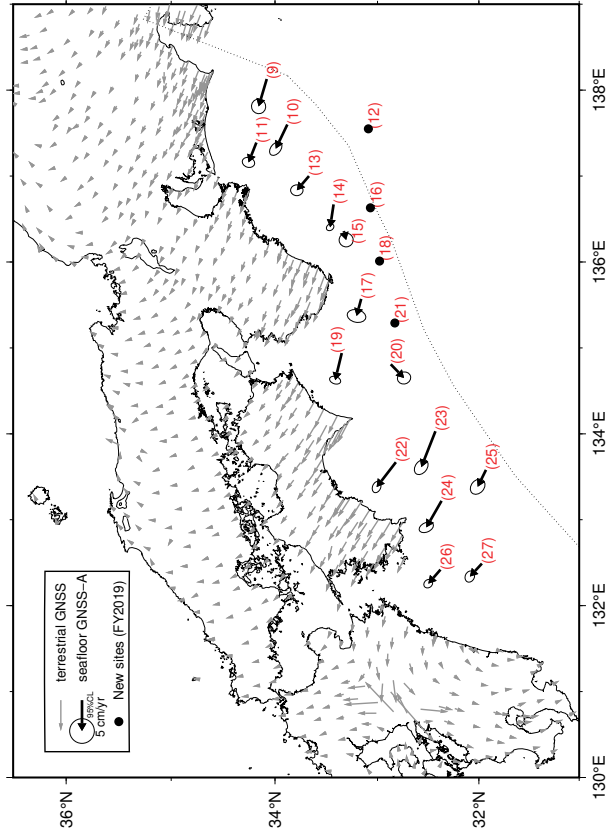
8-5 南海トラフ沿いの海底地殻変動観測結果

Seafloor movements along the Nankai Trough observed by seafloor geodetic observations

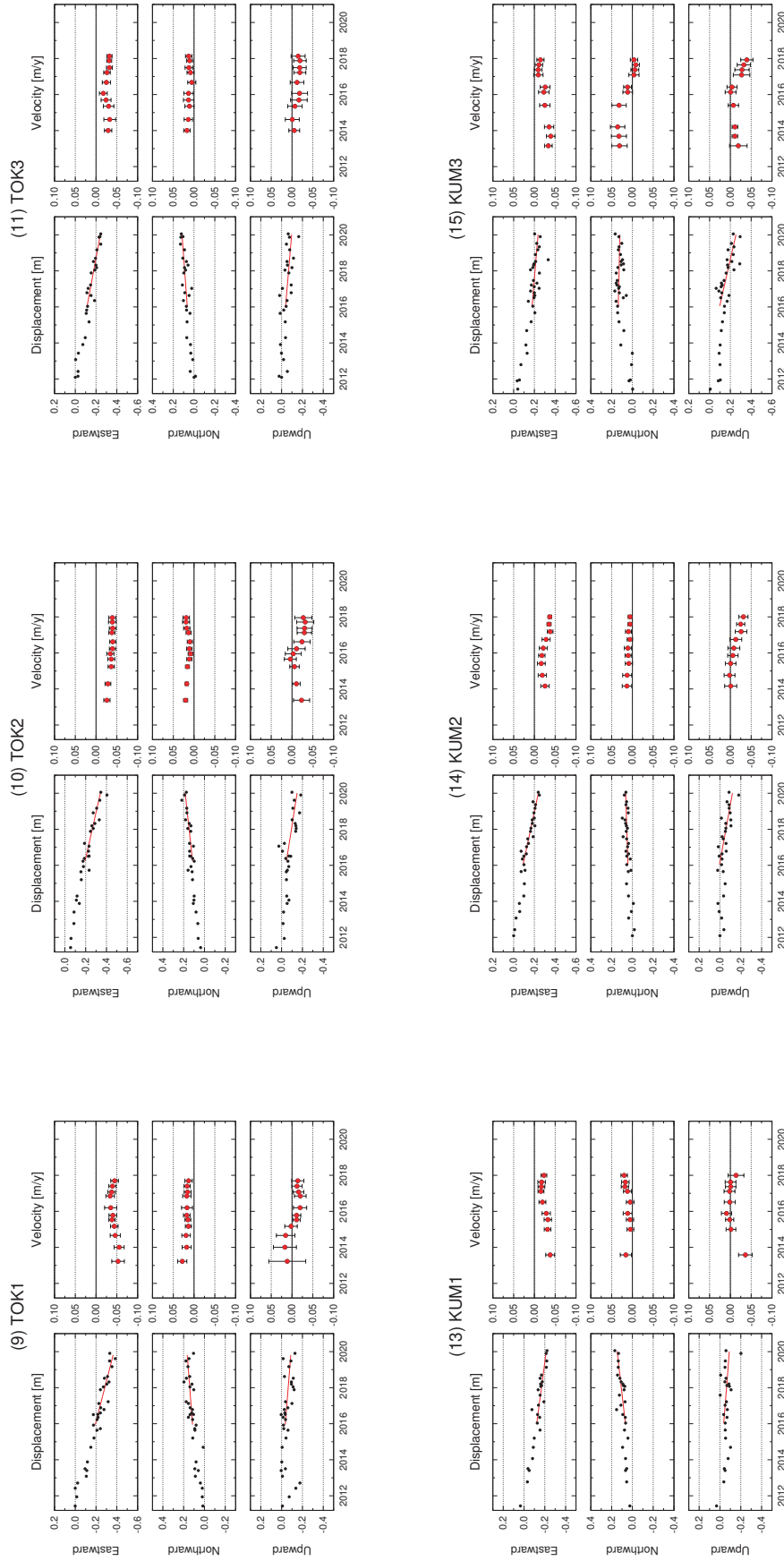
海上保安庁
Japan Coast Guard

海上保安庁では、南海トラフ巨大地震の想定震源域近傍での固着状態ならびに地殻変動を把握するため、南海トラフ沿いにおいて、海底地殻変動観測を実施している。第 1 図に、最近約 4 年間の観測結果を示す。海底の移動速度は、観測結果をロバスト回帰したものである。陸上の移動速度は国土地理院 GEONET の同一期間の F3 解を線形回帰したものである。第 2 図には、変位及び変位速度（4.1 年の移動時間窓でのロバスト回帰）の時系列を示す。なお、解析には国土地理院提供の電子基準点 1 秒データ及び F3 解を使用している。

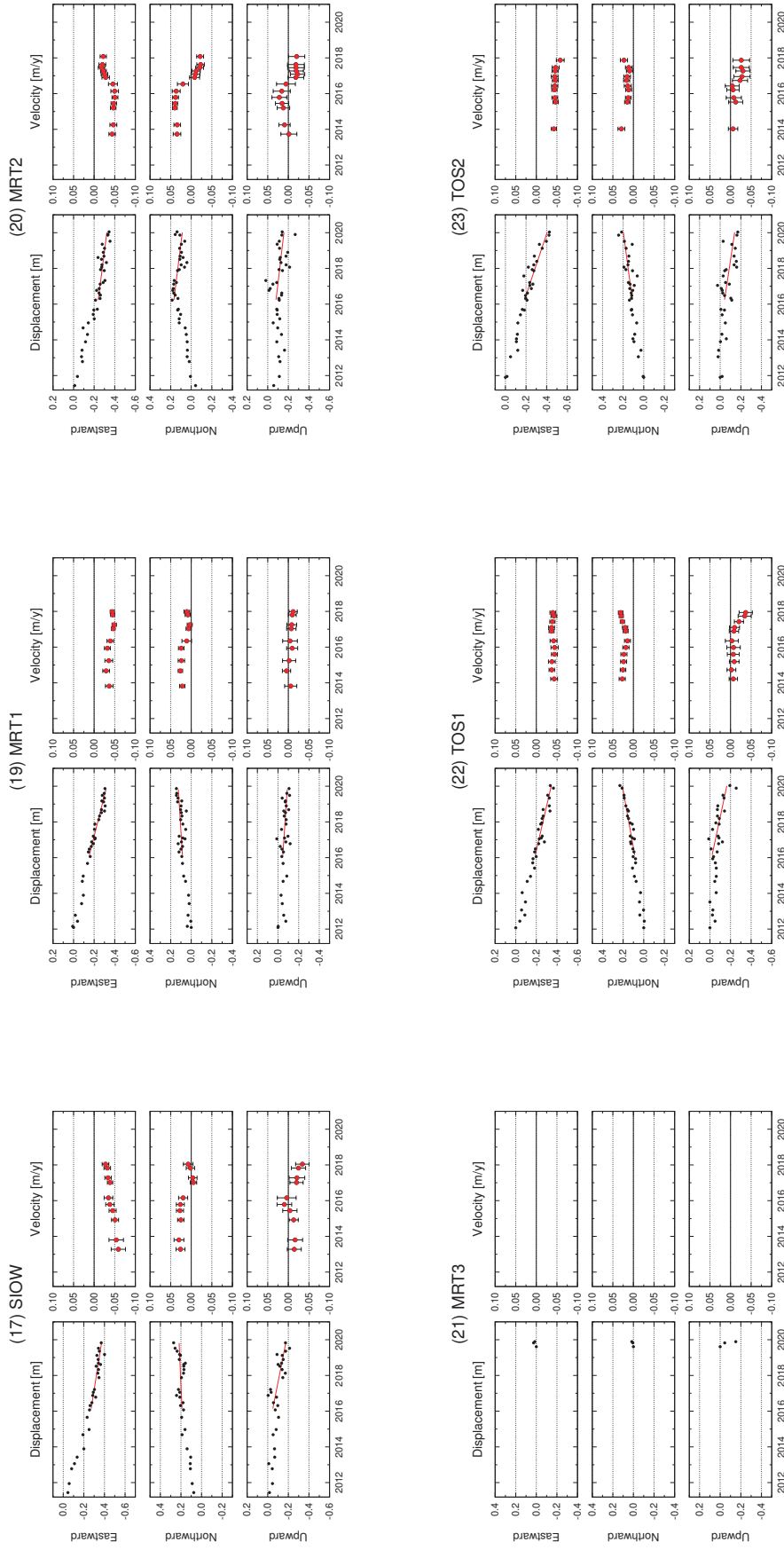
Site name	Lat. (°N)	Lon. (°E)	Velocity (cm/yr)	Velocity (deg)	Period	Data
(9) TOK1	34.08	138.13	4.6	286.6	12/03/2015 - 11/26/2019	20
(10) TOK2	33.88	137.60	4.3	295.7	03/23/2016 - 01/20/2020	17
(11) TOK3	34.18	137.39	3.5	291.7	01/12/2016 - 01/20/2020	17
(12) ZENW	33.09	137.55	-	-	-	-
(13) KUM1	33.67	137.00	3.0	310.7	01/13/2016 - 01/19/2020	18
(14) KUM2	33.43	136.67	3.7	278.6	01/13/2016 - 01/19/2020	21
(15) KUM3	33.33	136.36	1.5	255.2	01/14/2016 - 01/18/2020	24
(16) KUM4	33.08	136.64	-	-	-	-
(17) SIOW	33.16	135.57	2.9	285.2	01/26/2016 - 10/28/2019	19
(18) SIO2	32.98	135.99	-	-	-	-
(19) MRT1	33.35	134.94	4.5	283.7	01/23/2016 - 11/12/2019	23
(20) MRT2	32.87	134.81	3.1	225.8	03/22/2016 - 01/17/2020	24
(21) MRT3	32.80	135.35	-	-	08/10/2019 - 11/20/2019	3
(22) TOS1	32.82	133.67	5.1	307.8	01/20/2016 - 01/13/2020	20
(23) TOS2	32.43	134.03	6.3	291.6	03/21/2016 - 01/13/2020	21
(24) ASZ1	32.37	133.22	5.0	300.0	01/21/2016 - 01/12/2020	23
(25) ASZ2	31.93	133.58	3.0	296.3	12/13/2015 - 01/14/2020	23
(26) HYG1	32.38	132.42	3.0	311.2	12/09/2015 - 01/11/2020	25
(27) HYG2	31.97	132.49	2.9	313.0	12/12/2015 - 01/12/2020	26
GEONET					01/20/2016 - 01/20/2020	



第 1 図 南海トラフ沿いの海底の水平地殻変動
 (直近約 4 年間の移動速度)【アムールプレート固定】
 Fig. 1 Horizontal seafloor crustal movements along the Nankai Trough in recent 4 years with respect to the stable part of the Amur plate.



第 2 図 GNSS-A 観測時系列【アムールプレート固定】
 ※各図の右列は、4.1 年の時間窓による回帰直線から求めた変動速度
 ※縦のバーは速度推定の 95% 信頼区間
 Fig. 2 GNSS-A time series data with respect to the stable part of the Amur plate.
 ※ Plots on the right columns indicate velocities, derived by linear regression using a 4.1 year rolling time window.
 ※ The bars indicate 95% confidence intervals.



第 2 図 GNSS-A 観測時系列【アムールプレート固定】
 ※各図の右列は、4.1 年の時間窓による回帰直線から求めた変動速度
 ※縦のバーは速度推定の 95% 信頼区間

Fig. 2 GNSS-A time series data with respect to the stable part of the Amur plate (continued).



第 2 図 GNSS-A 観測時系列【アムールプレート固定】
 ※各図の右列は、4.1 年の時間窓による回帰直線から求めた変動速度
 ※縦のバーは速度推定の 95% 信頼区間
 Fig. 2 GNSS-A time series data with respect to the stable part of the Amur plate (continued).